

Polymerization  
Quarterly, 2014  
Volume 4, Number 2  
Pages 21-40  
ISSN: 2252-0449

# Protein and Homopoly(amino acid)-Based Superabsorbent Hydrogels: Synthesis and Applications

Seyed Hamid Salimi<sup>1\*</sup>, Fezeh Aryanasab<sup>1</sup>, Ali Reza Banazadeh<sup>1</sup>,  
and Mohammad Jallaledin Zohuriaan-Mehr<sup>2</sup>

1- Department of Polymer and Petrochemicals, Standard Research Institute,  
P.O. Box: 31745-139, Karaj, Iran

2- Iran Polymer and Petrochemical Institute, P.O. Box: 14975-112, Tehran, Iran

Received: 19 January 2014, Accepted: 16 June 2014

## Abstract

The use of super-swelling polymers is steadily increasing. With the recent authorization of the superabsorbents in food packaging by the Food and Drug Administration, the demand may soon take off in world market. However, the increase in prices of petroleum products in recent years may be a drawback for these acrylic-based materials. Thus, there is now a need to develop natural-based super-swelling hydrogels which are biodegradable and biocompatible. This review is aimed to highlight research and trends in protein and homopoly(amino acid)-based super-swelling hydrogels. The synthesis, properties and applications of such hydrogels are reviewed.

## Key Words

hydrogel,  
swelling,  
protein,  
gelatin,  
superabsorbent

(\* ) To whom correspondence should be addressed.  
E-mail: hamidsalimi@gmail.com

# هیدروژل‌های ابرجاذب برپایه پروتئین‌ها و هومو پلی آمینواسیدها: سنتز و کاربردها

سید حمید سلیمی<sup>۱\*</sup>، فضه آریانسب<sup>۲</sup>، علی رضا بنازاده<sup>۱</sup>، محمد جلال الدین ظهوریان مهر<sup>۲</sup>

۱- کرج، پژوهشگاه استاندارد، گروه پژوهشی پلیمر و پتروشیمی، صندوق پستی ۳۱۷۴۵-۱۳۹

۲- تهران، پژوهشگاه پلیمر و پتروشیمی ایران، صندوق پستی ۱۴۹۷۵-۱۱۲

دریافت: ۱۳۹۲/۱/۱۱، پذیرش: ۱۳۹۲/۳/۲۶

بسپارش  
فصلنامه علمی- ترویجی  
سال چهارم، شماره ۲،  
صفحه ۱۳۹۳.۲۱-۴۰  
ISSN: 2252-0449

## چکیده



سید حمید سلیمی



فضه آریانسب



علی رضا بنازاده



محمد جلال الدین ظهوریان مهر

## واژگان کلیدی

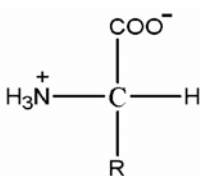
هیدروژل،  
تورم،  
بروتئین،  
ژلاتین،  
ابرجاذب

امری کاملاً معقول به نظر می‌رسد. در این مقاله پس از معرفی پروتئین‌ها به طور خلاصه، به بررسی هیدروژل‌های ابرجاذب برپایه پلی‌آمینواسیدها پرداخته می‌شود.

## پروتئین‌ها

نام پروتئین از واژه یونانی پروتیوس (proteios) به معنای نخستین گرفته شده است. این انتخابی نیکوست. چه پروتئین‌ها به دلیل نقش کلیدی آنها در فرایند حیات بیقین باید در میان تمام ترکیبات شیمیایی، در جایگاه نخست قرار گیرند. پروتئین‌ها فراوان‌ترین درشت‌مولکول‌های زیستی‌اند که در تمام یاخته‌های زنده یافت می‌شوند. این ترکیبات، ماده اصلی تشکیل دهنده پوست، ماهیچه، زردپی‌ها، اعصاب و خون، همچنین آنزیم‌ها، پادتن‌ها و بسیاری از هورمون‌ها هستند [۱۱].

تمام پروتئین‌ها، چه مربوط به انسان باشند یا یک باکتری تک‌سلولی، تقریباً از ۲۰ آمینواسید مختلف تشکیل شده‌اند. آنچه در این میان جالب به نظر می‌رسد این است که سلول‌ها می‌توانند با اتصال همین ۲۰ آمینواسید با ترکیبات و توالی‌های بسیار متنوع، پروتئین‌هایی را تولید کنند که ویژگی‌ها و فعالیت‌های فوق العاده متنوعی دارند. همه آمینواسیدهای موجود در پروتئین‌ها از نوع  $\alpha$ -آمینواسیدها هستند. این مولکول‌ها دارای یک گروه کربوکسیل و یک گروه آمینو بوده که به یک کربن (کربن  $\alpha$ ) متصل شده‌اند:



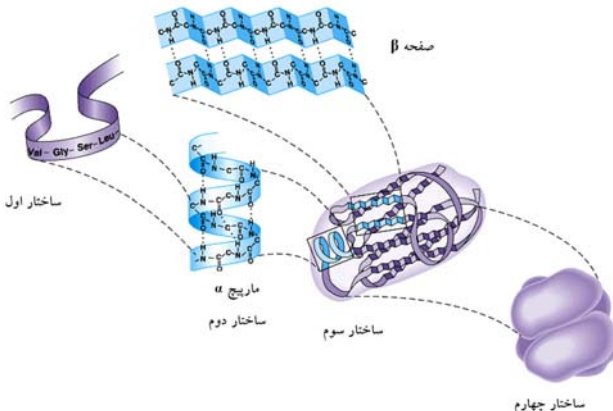
اختلاف این آمینواسیدها از نظر نوع زنجیر جانبی یا گروه‌های R آنهاست که از نظر ساختار، اندازه و بار الکتریکی متفاوت بوده و روی انحلال پذیری آمینواسیدها در آب اثر می‌گذارد [۱۱-۱۳].

پروتئین‌ها، پلیمرهای حاصل از آبزدایی آمینواسیدها هستند که در آنها هر بنیان آمینواسید به وسیله یک نوع پیوند آمیدی به ریشه مجاور خود متصل شده است. این نوع از پیوند آمیدی که میان گروه کربوکسیل یک آمینواسید و گروه آمینوی آمینواسید مجاور تشکیل می‌شود، پیوند پپتیدی نام دارد. دو مولکول آمینواسید می‌توانند به طور کووالان از راه یک پیوند آمیدی یا پیوند پپتیدی به یکدیگر متصل شده و یک دی‌پپتید ایجاد کنند. سه آمینواسید می‌توانند با

بررسی تحولات بازار نفت در سال‌های اخیر نشان می‌دهد، این بازار با نوسانات شدید قیمت‌ها رو به رو بوده است. این مسئله به همراه بیم از پایان یافتن ذخایر فسیلی در دهه‌های آتی، تولیدکنندگان عمده مواد شیمیایی را بر آن داشته است تا به دنبال جایگزینی مناسب برای نفت باشند. در این میان، بهره‌گیری از مواد خام طبیعی یا به اصطلاح زیست‌توده می‌تواند به عنوان راه حل مناسبی در این زمینه، مدد نظر قرار گیرد.

گرچه به باور برخی افراد، کاربرد مواد خام طبیعی به عنوان جایگزینی برای نفت و فراورده‌های نفتی به طور گسترده در صنعت، امری دور از ذهن است، اما با نگاهی گذرآ با مجلات معتبر خبری شیمی همچون Chemistry & Engineering News (از انتشارات ACS) و Chemistry World (از انتشارات RSC) خلاف این ادعا ثابت می‌شود. در واقع، کاربرد زیست‌توده به شدت در مقیاس صنعتی مورد توجه قرار گرفته است. به عنوان مثال، در اواخر سال ۲۰۰۷ میلادی، قانونی در ایالات متحده به تصویب رسید که بر اساس آن تا سال ۲۰۲۲ می‌باشد ۱۷۰ میلیارد دلار در تولید اتانول از مواد خام طبیعی سرمایه‌گذاری شود [۱]. بر این اساس قرار است، حجم تولید اتانول در این سال به ۳۶ میلیارد گالن بالغ شود (۱۵ میلیارد گالن از دانه ذرت و ۲۱ میلیارد گالن از ذخایر سلولوزی همچون پسماندهای گیاه ذرت، علف یا درخت‌های صنوبر). به گفته مسئولان، این طرح تنها با پروژه منهن برای ساخت بمب اتمی و پروژه آپولو برای سفر به ماه قابل مقایسه است. خبرهایی از این دست در مجلات شیمیایی Dow Chemical طرحی را در برزیل برای تولید اتانول از نیشکر و سپس تبدیل آن به اتیلن به منظور تهیه پلی‌اتیلن در برنامه دارد. پلی‌اتیلن کاربرد گسترده‌ای در بسته‌بندی مواد غذایی دارد [۲]. پژوهشگران دانشگاهی نیز در این زمینه بیکار نشسته‌اند. به تازگی دو مقاله در مجلات Nature [۴] و Science [۵] به چاپ رسیده است که می‌تواند سرآغاز فصلی نو در این زمینه باشد [۶].

هیدروژل‌های ابرجاذب در سال‌های اخیر، کاربردهای گسترده‌ای را در زمینه‌های گوناگون یافته‌اند [۷-۹]. در حال حاضر، تولید جهانی این ترکیبات از یک میلیون تن در سال نیز فراتر رفته است [۱۰]. اکثر ابرجاذب‌های موجود در بازار بر پایه آکریلیک اسیدند، که از فراورده‌های جانبی صنایع پتروشیمی است. از این رو، قیمت آن می‌تواند تحت تاثیر نوسانات قیمت نفت قرار گیرد. بنابراین، استفاده از مواد خام طبیعی در تهیه هیدروژل‌های ابرجاذب



شکل ۱- ساختارهای اول، دوم (مارپیچ  $\beta$  و صفحه  $\beta$ )، سوم و چهارم پروتئین‌ها.

گلوبولین‌های پلاسمای آنژیم‌ها در این دسته جای دارند. از سوی دیگر، در پروتئین‌های رشته‌ای نسبت طول به عرض بزرگتر از ۱۰ است. ویژگی اختصاصی این دسته از پروتئین‌ها وجود زنجیرهای پیتیدی است که به دور هم پیچیده شده و از راه پیوندهای عرضی (پیوندهای هیدروژنی و پیوندهای دی‌سولفیدی) به هم متصل شده‌اند. این نوع از پروتئین‌ها در آب نامحلولند. در این زمینه به عنوان مثال می‌توان به کراتین (در مو) و کلاژن (در پوست) اشاره کرد [۱۱، ۱۴].

با تقسیم‌بندی ساختار پروتئین‌ها در چهار سطح، درک بهتری از ساختار این ترکیبات حاصل می‌شود (شکل ۱). این ساختارها در ادامه به اختصار بررسی می‌شوند.

### ساختار نوع اول

ساختار نوع اول در واقع مربوط به ترتیب واحدهای آمینواسید در یک پیتید یا پروتئین است. این ساختار را می‌توان به ترتیب قرار گرفتن حروف در یک کلمه تشییه کرد. با پس و پیش کردن حروف در یک کلمه می‌توان معنی آن را به کلی تغییر داد. به طور مشابه

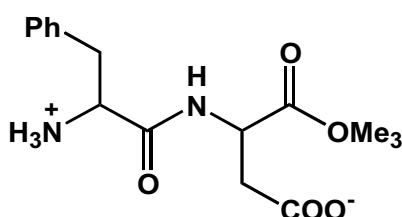
دو پیوند پیتیدی به هم متصل شده و یک تری‌پیتید تشکیل دهند. به طور مشابه، آمینواسیدها قابلیت ایجاد تترایپتید و پنتایپتیدها را نیز دارند. در حالتی که تعداد نسبتاً زیادی از آمینواسیدها بدین ترتیب به هم متصل شوند، یک اولیگوپیتید ایجاد می‌شود. چنانچه تعداد آمینواسیدها از حد خاصی بالاتر رود، پلی‌پیتید تولید می‌شود. مولکول‌هایی که به آنها پلی‌پیتید گفته می‌شود، عموماً دارای وزن مولکولی کمتر از ۱۰۰۰۰ هستند. پروتئین‌ها، در حقیقت پلی‌پیتیدهایی با وزن مولکولی زیاد هستند.

با اینکه همه پروتئین‌ها پلی‌پیتید هستند، ولی ممکن است حاوی ترکیبات غیرآمینواسیدی نیز مثل هِم، مشتقات ویتامینی، چربی و کربوهیدرات باشند. از لحاظ تاریخی، این دسته از پروتئین‌ها را پروتئین‌های پیچیده گویند. پروتئین‌هایی که تنها از آمینواسیدها تشکیل شده‌اند را پروتئین‌های ساده گویند. پروتئین‌های پیچیده، علاوه بر اینکه خواص پروتئین‌های ساده را دارند، از خواص ویژه‌ای نیز برخوردارند که به علت وجود ترکیبات غیرآمینواسیدی در آنهاست [۱۱-۱۳].

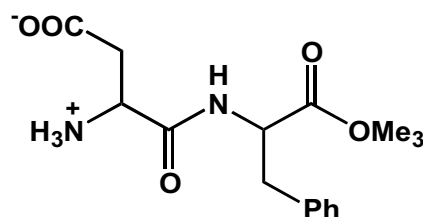
در ادامه پس از نگاهی گذرا بر ساختار پروتئین‌ها، به معرفی برخی از معروف‌ترین انواع آنها پرداخته می‌شود.

### ساختار پروتئین‌ها

به طور کلی، پروتئین‌ها را می‌توان بر اساس نسبت‌های محوری (نسبت طول به عرض) به دو دسته کلی کروی و رشته‌ای تقسیم کرد. در پروتئین‌های کروی نسبت طول به عرض کمتر از ۱۰ بوده و معمولاً از ۳-۴ تجاوز نمی‌کند. در واقع، در این دسته از پروتئین‌ها زنجیرهای پلی‌پیتیدی کاملاً به دور هم تاخورده‌اند. این پروتئین‌ها در آب یا محلول‌های آبی اسیدها، بازها یا نمک‌ها محلولند. پروتئین‌های کروی انواع کارهایی را انجام می‌دهند، که مربوط به حفظ و تنظیم فرایند حیات است، کارهایی که مستلزم تحرک و طبعاً انحلال‌پذیری است به عنوان مثال، انسولین، آلبومین‌ها و

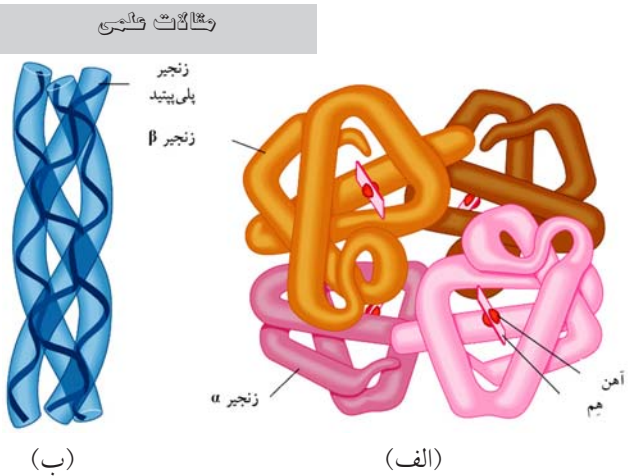


(ب)



(الف)

طرح ۱- (الف) آسپارتام و (ب) ایزومر آن.



شکل ۳- ساختار: (الف) هموگلوبین و (ب) کلاژن.

اشارة دارد (شکل ۱). از میان تمام الگوهای تاخورده‌گی (صورت‌بندی) ممکن برای یک پروتئین، معمولاً تنها یکی به مولکول فعال از لحظه زیست‌شناختی می‌انجامد. در نهایت، این توالی آمینواسیدها (ساختار اول) است که معین کننده الگوی تاخورده‌گی منتخب است. از این رو، هر دو ساختار دوم و سوم به ساختار اول وابسته‌اند [۱۳].

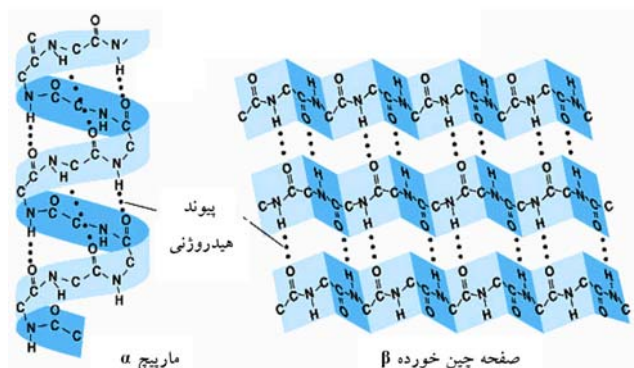
#### ساختار نوع چهارم

برخی از پروتئین‌ها برای آنکه از نظر زیست‌شناختی فعال باشند، به بیش از یک زنجیر پلی‌پیتیدی نیازمندند. ساختار چهارم به آرایش این زنجیرها اشاره دارد (شکل ۱). هر زنجیر پلی‌پیتید در چنین پروتئینی به عنوان یک زیرواحد شناخته می‌شود. تعداد زیرواحدهای پلی‌پیتیدی و همچنین شمار زنجیرهای متفاوت پلی‌پیتیدی تا اندازه زیادی از پروتئینی به پروتئینی تغییر می‌کند. به عنوان مثال، هموگلوبین (شکل ۳)، تترامری (چهار زیرواحد) مشکل از دو نسخه از یک پلی‌پیتید و دو نسخه از پلی‌پیتید دیگری است. کلاژن مثال دیگری است که از سه زنجیر پلی‌پیتیدی تشکیل شده است [۱۳].

ساختار چهارم از راه جاذبه‌های غیرکووالانسی همچون پیوند هیدروژنی، اثر آبگریزی و پل‌های نمکی حفظ می‌شود. این ساختار از آن جهت حائز اهمیت است که همیاری میان زیرواحدها اغلب عاملی در تنظیم فعالیت پروتئین است.

#### معرفی برخی از معروف‌ترین پروتئین‌ها

در این بخش به معرفی برخی از مشهورترین انواع پروتئین‌ها پرداخته می‌شود. با توجه به تقسیم‌بندی این ترکیبات به طور متداول به دو دسته کلی کروی و رشته‌ای، در اینجا چند نمونه از

شکل ۲- پیوندهای هیدروژنی در مارپیچ  $\alpha$  و صفحه  $\beta$ .

با جایه‌جایی واحدهای آمینواسید در یک پیتید یا پروتئین، عملکرد آن دست‌خوش تغییر می‌شود. به عنوان مثال، در حالی که آسپارتام با ساختار نوع اول Asp-Phe-OMe، ۱۸۰ بار از ساکاروز شیرین تر است، ایزومر آن با ساختار نوع اول متفاوت Phe-Asp-OMe، به هیچ عنوان شیرین نیست (طرح ۱) [۱۳].

#### ساختار نوع دوم

خواص پروتئین‌ها، افزون بر وابستگی به توالی واحدهای آمینواسید، همچنین به چگونگی تاخوردن، پیچ خوردن و خم شدن آنها مرتبط است. مارپیچ آلفا ( $\alpha$ -helix) و صفحه بتا ( $\alpha$ -sheet) و صفحه بتا ( $\beta$ -sheet)، دو نمونه از این نوع ساختارند که معمولاً مشاهده می‌شوند. ساختار دوم، حاصل پیوند هیدروژنی میان گروه‌های  $C=O$  و  $N-H$  آمیدی واقع در بخش‌های متفاوت یک زنجیر پلی‌پیتیدی است (شکل ۱). شکل مارپیچی از راه پیوند هیدروژنی میان گروه  $N-H$  یک بینان آمینواسید و گروه  $C=O$  آمینواسید دیگر حفظ می‌شود که چهار واحد در زنجیر با این آمینواسید فاصله دارد. اگرچه یک پیوند هیدروژنی به تنها یک، پیوند نسبتاً ضعیفی است، اما ترکیب پیوندهای هیدروژنی میان واحدهای مختلف آمینواسید در یک مارپیچ  $\alpha$  منجر به پایداری ساختار می‌شود (شکل ۲).

شکل دیگر ساختار دوم، یعنی صفحه  $\beta$ ، به دلیل پیوند هیدروژنی میان اتم‌های هیدروژن (گروه  $N-H$ ) و اکسیژن (گروه  $C=O$  آمینواسیدهایی که در دو زنجیر یا بیشتر پهلو به پهلو قرار گرفته‌اند، ایجاد می‌شود. در اینجا نیز همانند مارپیچ  $\alpha$ ، تعداد زیاد پیوندهای هیدروژنی موجب پایداری ساختار می‌شود (شکل ۲) [۱۳].

#### ساختار نوع سوم

ساختار سوم به شکل سه‌بعدی کلی یک پروتئین شامل تاخورده‌گی‌های مارپیچ‌های  $\alpha$  یا صفحات  $\beta$  نسبت به یکدیگر

هر دسته به اختصار معرفی می‌شوند.

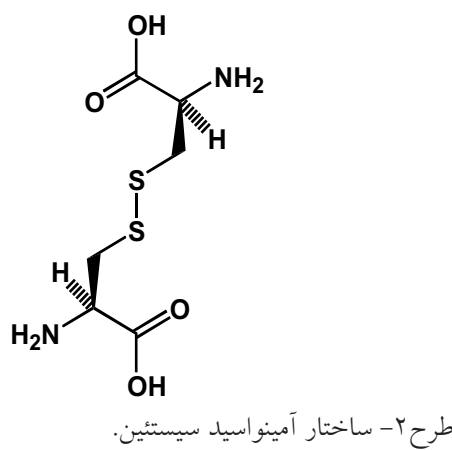
### پروتئین‌های کروی

همان‌گونه که پیشتر اشاره شد، این پروتئین‌ها برخلاف انواع رشته‌ای، کروی و به شدت محلولند. پروتئین‌های کروی نقش فعالی را در متابولیسم بدن بازی می‌کنند. آلبومین، گلوبولین، کازئین، هموگلوبین، تمام آنزیم‌ها و هورمون‌های پروتئینی به عنوان مثال در این دسته جای دارند. آلبومین‌ها و گلوبولین‌ها دسته‌ای از پروتئین‌های محلولند، که به مقدار زیاد در تخم مرغ، شیر، سرمه خون و سلول‌های حیوانی وجود دارند. هموگلوبین، پروتئین تنفسی است که اکسیژن را به سراسر بدن انتقال می‌دهد. رنگ قرمز روشن سلول‌های خونی قرمز به دلیل وجود این پروتئین است. تاکنون، افزون بر صد هموگلوبین انسانی مختلف کشف شده‌اند [۱۵].

### پروتئین‌های رشته‌ای

در این بخش دو پروتئین رشته‌ای یعنی کراتین و کلاژن شرح داده می‌شود.

کراتین: پروتئینی رشته‌ای و کاملاً نامحلول در آب است که سازنده اصلی خارجی‌ترین لایه پوست و مو، فلس، سُم، ناخن و پَر حیوانات است. یک چهارم آمینواسیدهای کراتین از سیستئین تشکیل شده است. ساختار آمینواسید سیستئین در طرح ۲ ترسیم شده است. همان‌طور که مشاهده می‌شود، این آمینواسید قابلیت ایجاد پیوندهای عرضی قوی (پیوندهای کووالان دی‌سولفید) بین زنجیرهای پلی‌پپتیدی را دارد که باعث پایداری زیاد کراتین

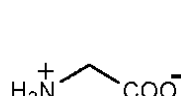


می‌شود. به علت وجود همین پیوند هاست که کراتین در آب سرد یا داغ حل نمی‌شود و به سادگی آبکافت نمی‌شود [۱۶].

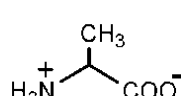
کلاژن: تقریباً یک سوم پروتئین کل بدن انسان را کلاژن تشکیل می‌دهد. این ترکیب، پروتئین ساختاری اصلی در زردپی‌ها، غضروف، استخوان، رگ‌های خونی و دندان است. کلاژن به دلیل نقش زیست‌شناختی اش، باید از نظر فیزیکی قوی، نامحلول در آب و در برابر تغییرات شیمیایی نسبتاً مقاوم باشد.

واحدهای ساختاری اصلی همه مولکول‌های کلاژن، پروتئین‌هایی هستند که تقریباً حاوی ۱۰۰۰ واحد آمینواسید هستند. بخش عمده‌ای از این آمینواسیدها عبارتند از: گلیسین، آلانین، گلوتامیک اسید، آرجینین، پرولین و هیدروکسیپرولین. ساختار این آمینواسیدها در طرح ۳ آمده است.

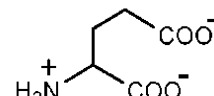
هیدروکسیپرولین (Hyp)، که یکی از بیست آمینواسید متداول نیست، به محض تشکیل یک زنجیر پروتئین، از راه افزایش کاتالیز شده با آنزیم یک گروه هیدروکسیل به باقی‌مانده پرولین ایجاد



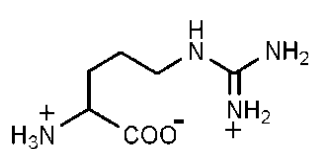
گلیسین



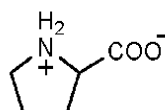
آلانین



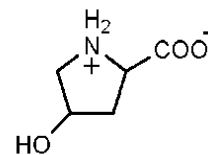
گلوتامیک اسید



آرجینین



پرولین



هیدروکسیپرولین

طرح ۳- ساختار آمینواسیدهای عمده واحدهای ساختاری اصلی کلاژن.

می شود.

به طور کلی، وقتی کلاژن در آب جوشانده شود، به ژلاتین تبدیل می شود. با سرد شدن، محلول به کلاژن اولیه باز نمی گردد، بلکه به شکل ژل در می آید. وزن مولکولی ژلاتین یک سوم کلاژن است. بدیهی است که در این حالت رشته های مارپیچ جدا شده، پیوندهای هیدروژنی بین زنجیری می شکنند و به جای آن پیوند هیدروژنی با مولکول های آب ایجاد می شود.

ژلاتین بسته به اینکه فرایند تولید آن از مرحله پیش قلیابی شدن کلاژن گذشته یا نگذشته باشد، در دو نوع وجود دارد (فرایند پیش قلیابی شدن منجر به تبدیل باقی مانده های اسپارژین و گلوتامین به اسیدهای مربوط آنها و در نتیجه گرانزوی بیشتر می شود). ژلاتین نوع A با نقطه ایزوفیونی ۷-۹، که از پیش برهم کش اسیدی پوست گراز به وجود می آید و ژلاتین نوع B با نقطه ایزوفیونی ۵-۸/۴، که از برهم کش قلیابی پوست و استخوان گاو به دست می آید.

به طور کلی، دو فرایند اساسی برای تبدیل کلاژن به ژلاتین وجود دارد:

- فرایند اسیدی که عمدتاً با پوست گراز و ماهی و گاهی با مواد خام استخوان انجام می گیرد. در این روش، کلاژن تقریباً در pH برابر ۴ اسیدی شده و سپس مرحله به مرحله از گستره دمایی ۵۰°C تا دمای جوش، برای تغییر ماهیت گرمایی و پایداری کلاژن، گرما داده می شود. پس از انجام فرایند چربی زدایی و صاف کردن، آن را به منظور رسیدن به غلظت قابل قبول، از راه تبخیر با بخار آب یا برهم کش با غشاء های فرآصف کردن تغییر می کنند. در پایان، عمل خرد کردن یا پودر کردن انجام می شود.

- فرایند قلیابی که عمدتاً روی پوست گاو و منابع کلاژنی حاصل از کشتار حیوانات پیر انجام می گیرد. در این فرایند ابتدا کلاژن را پیش از استخراج، با محلول  $\text{Ca(OH)}_2$  درهم می آمیزند. طی این فرایند، آبکافت قلیابی زنجیرهای جانبی گلوتامین و اسپارژین به گلوتامیک اسید و اسپارتیک اسید به سرعت اتفاق می افتد. سپس، کلاژن را به منظور عاری کردن از قلیا، کاملاً شست و شو می دهند و تا pH مناسب برای بازیافت، اسیدی می کنند. آنگاه، کلاژن به کمک گرما و اسید تغییر ماهیت داده می شود، تا تبدیل به ژلاتین شود.

ژلاتین به عنوان یک محصول پلیمری، دارای اهمیت منحصر به فردی است که به طور گستره در ساخت مواد و کالاهای گوناگون استفاده می شود. با وجود ویژگی های فراوان ذاتی موجود در ژلاتین، نقطه ضعف هایی نیز در آن یافت می شود که به ویژه در شرایط دمایی و رطوبتی نامناسب، این نقطه ضعف ها حادر می شوند. مهم ترین نقطه ضعف ژلاتین، شکنندگی زیاد جامد

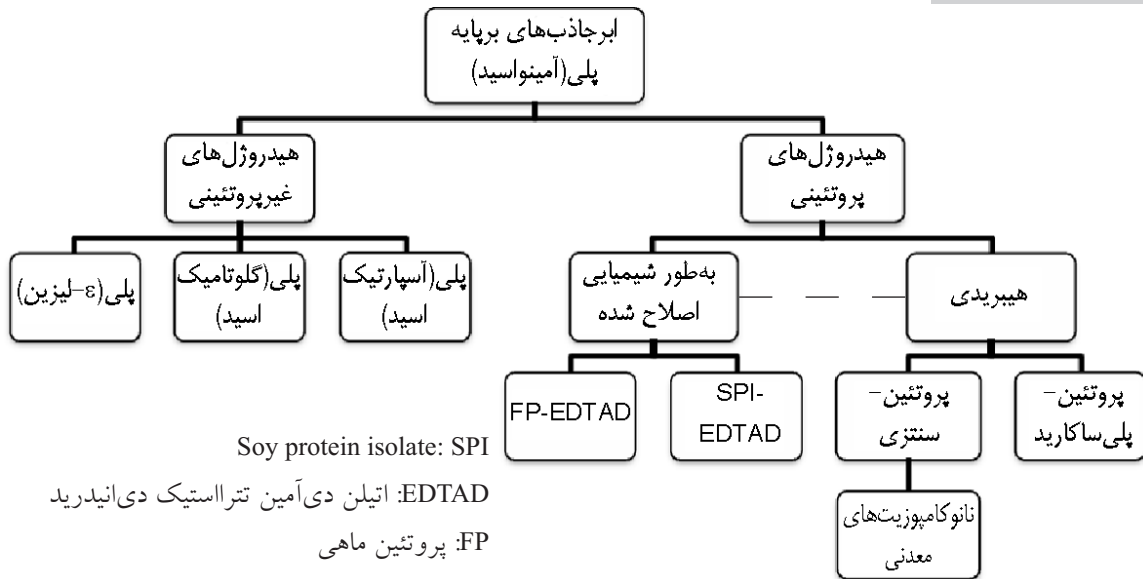
در کلاژن، معمولاً سومین باقی مانده آمینو اسید، یک گلیسین بوده و توالي Gly-Pro-Hyp به دفعات تکرار می شود. حلقه پیرولیدین پرولین و هیدروکسی پرولین به چند راه ساختار دوم را تحت تاثیر قرار می دهد. نیتروژن آمیدی برای برقراری پیوند هیدروژنی فاقد هیدروژن است. مسطح بودن حلقه پنج عضوی و مسطح بودن گروه آمید، از کشیدگی زنجیر پیتید همانند آنچه در ترتیب بتا دیده می شود، ممانعت می کند و کلافی شدن متراکم مارپیچ آلفا را هم تحت تأثیر قرار می دهد.

ساختار کلاژن تلفیقی از ماهیت مارپیچی پروتئین های نوع آلفا و پیوند هیدروژنی بین زنجیری پروتئین های نوع بتاست. سه زنجیر پیتیدی (هر یک به شکل یک مارپیچ چپ گرد) دور یکدیگر تابیده شده و یک آبرمارپیچ راست گرد سه رشته ای را به وجود می آورند (شکل ۳). وجود باقی مانده کوچک گلیسین در هر سومین محل از یک زنجیر برای حلقه های حجمی پیرولیدین روی دو زنجیر دیگر فضاسازی می کند. سه زنجیر با پیوند هیدروژنی میان باقی مانده های گلیسین و بین گروه های OH- هیدروکسی پرولین به یکدیگر محکم نگه داشته می شوند.

مارپیچ های سه گانه موازی اغلب با هم در یک دسته جمع شده و الیاف کلاژن را تشکیل می دهند. الیاف کلاژن به دلیل نوع ساختار بسیار قوی هستند. به عنوان مثال، برخی الیاف که قطری برابر ۱ mm دارند، قابلیت حمل بارهای بیش از ۲۰ lb را دارند. وجود پرولین، آلانین و سایر باقی مانده های آمینو اسید غیرقطبی روی سطح کلاژن به توجیه نامحلول بودن آن در آب کمک می کند.

حداقل ۱۳ نوع کلاژن در انسان شناسایی شده اند که هر یک در بافت خاصی وجود دارند. تنوع این کلاژن ها به دلیل تفاوت در ماهیت پلی پیتیدهای تشکیل دهنده آنهاست [۱۱، ۱۳].

ژلاتین: مخصوصی است که بر اثر تخریب شیمیایی و ساختاری کلاژن به دست می آید. در واقع ژلاتین و کلاژن، هر دو از آمینو اسیدهای یکسانی تشکیل شده اند و ساختار آنها تا حدی مشابه هم است. از این رو، ویژگی های مشابهی را بین این دو پروتئین می توان مشاهده کرد. با این حال، ژلاتین دارای خواص ویژه ای است که در کلاژن وجود نداشته یا تا حد کمی وجود دارد. ژلاتین، جامدی با گستره وسیعی از خواص ویژه نظری قدرت شبکه ای است که برای بسیاری از کاربردهای خاص مناسب است. این پروتئین با آب، ژلهای برگشت پذیر گرمایی تشکیل می دهد. ژلاتین در بدن کاملاً قابل هضم بوده و ارزش غذایی دارد. تقریباً همه آمینو اسیدها، به جز تریپوفان، در ژلاتین موجودند.



شکل ۴- طبقه‌بندی ابرجاذب‌های برپایه پلی‌پیتید [۲۱].

معمولًا از پوست یا استخوان ماهی، گاو یا خوک به دست می‌آید. این محصول کاربرد گسترده‌ای به ویژه در صنایع غذایی و بهداشتی دارد. نوع II، غالباً از غضروف‌های فشرده شده جووجه تهیه می‌شود. این نوع حاوی تنها ۵۵٪ پروتئین است [۲۰].

آن در دمای زیاد و رطوبت کم است که باعث زود خراب شدن مواد تشکیل شده از ژلاتین می‌شود. به همین دلیل، مسئله اصلاح ویژگی‌های ژلاتین جامد و مهم‌تر از همه خاصیت کشسانی آن در چند دهه اخیر به طور گسترده بررسی شده، ولی هنوز به طور کامل به موفقیت نرسیده است [۱۷-۱۹].

### هیدروزلهای برپایه پلی‌آمینواسیدها

هیدروزلهایی را که در ساختار خود دارای پیوند پیتیدی هستند، به طور کلی می‌توان به دو دسته هیدروزلهای پروتئینی و غیرپروتئینی تقسیم کرد. منظور از واژه غیرپروتئینی در اینجا، پلی‌پیتیدهایی است که از یک آمینواسید تشکیل یافته‌اند (هموپلی‌پیتید). با این تعریف، در واقع پروتئین‌ها نوعی هتروپلی‌پیتید هستند. با آنکه پروتئین‌ها نقش مهمی را در فرایند حیات بازی می‌کنند، در مقابل هموپلی‌پیتیدهای را کمتر می‌توان در طبیعت یافت. پلی(L-لیزین) و پلی(γ-گلوتامیک اسید) دو هموپلی‌پیتید معروفند که در طبیعت نیز یافت می‌شوند.

هیدروزلهای غیرپروتئینی را خود می‌توان به سه دسته هیدروزلهای پلی(آسپارتیک اسید)، پلی(گلوتامیک اسید) و پلی(L-لیزین) تقسیم کرد. هیدروزلهای پروتئینی را نیز می‌توان در دو رده هیدروزلهای هیبریدی و به طور شیمیایی اصلاح شده جای داد. شکل ۴ انواع هیدروزلهای برپایه پلی‌آمینواسیدها را به نمایش می‌گذارد [۲۱].

کلاژن آبکافت شده: این ترکیب عموماً به عنوان فراورده‌ای مشتق از کلاژن شناخته می‌شود که در مقایسه با ژلاتین، به مقدار بسیار بیشتری آبکافت شده است. این محصول، ساختاری کاملاً مشابه ژلاتین دارد. تفاوت عمدی این ترکیب با ژلاتین، وزن مولکولی آن است که خواصی متفاوت به آن بخشیده است. وزن مولکولی ژلاتین عموماً بین ۸۰۰۰۰-۲۰۰۰۰ دالتون است، در حالی که وزن مولکولی کلاژن آبکافت شده در محدوده ۲۰۰۰-۲۰۰۰۰ دالتون است. به همین دلیل، نام کلاژن آبکافت شده را به آن اختصاص داده‌اند، تا بتوان آن را از ژلاتین تفکیک کرد.

کلاژن آبکافت شده، به دلیل وزن مولکولی کم به شکل ژل در نمی‌آید، به طوری که تعیین قدرت ژل برای آن امکان پذیر نیست. کاربردهای اصلی این ترکیب در صنایع غذایی و آرایشی است. کلاژن آبکافت شده به راحتی قابل استفاده بوده و به شکل پودر بسیار ریز موجود است. این ترکیب برای کاربردهای خاص از جمله رطوبت‌پذیری بسیار زیاد، توزیع پذیری مناسب و انحلال‌پذیری سریع در آب سرد طراحی شده است. کلاژن آبکافت شده به شکل دو نوع عمدی موجود است: نوع I، حاوی ۹۲٪ پروتئین، ۷٪ رطوبت و ۱٪ خاکستر است. این نوع از کلاژن آبکافت شده

کربوکسیل به مولکول پروتئین از راه اصلاح شیمیایی باقیمانده‌های لیزیل با اتیلن‌دی‌آمین تترالستیک دی‌انیدرید (EDTAD) است. همان‌طور که شکل ۵ نیز نشان می‌دهد، از لحظه نظری به ازای هر آمینواسید اصلاح شده، سه گروه کربوکسیل به زنجیر پلی‌پپتید وارد می‌شود. EDTAD، دارای سمیت کمی است، زیرا تنها گروه واکنش‌پذیری که به شبکه وارد می‌شود، گروه کربوکسیل است. در مرحله بعد، پیوندهای عرضی از راه واکنش گلوتارآلدهید با گروه‌های آمینوی باقی‌مانده پروتئین آبدوست شده ایجاد می‌شوند (شکل ۵-الف). به این ترتیب، هیدروژل ابرجاذب تهیه می‌شود [۲۳].

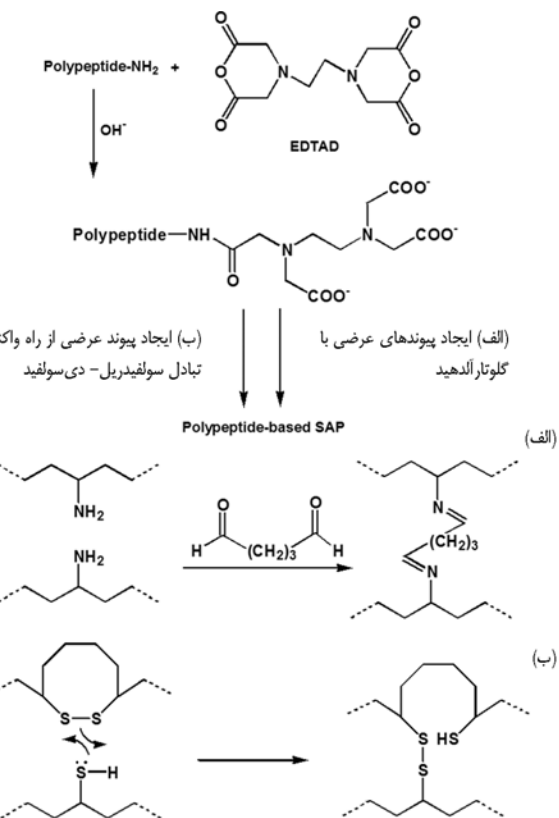
از آنجا که گروه EDTA در این هیدروژل‌های پروتئینی، به خوبی با یون‌های فلزی دوظرفیتی کی‌لیت می‌شود، می‌توان از این ژل‌ها برای حذف فلزات سنگین از پساب‌های صنعتی بهره جست. در این راستا، Damodaran و همکاران، کی‌لیت شدن برخی از فلزات را با هیدروژل‌های سویای اصلاح شده با EDTAD بررسی کردند [۲۸، ۲۹].

### هیدروژل‌های برپایه پروتئین ماهی

ضایعات حاصل از عملیات فراورش ماهی حاوی ۲۷٪ تا ۴۹٪ پروتئین برمنای وزن خشک است [۲۵]. این پروتئین‌ها برای تهیه هیدروژل‌های ابرجاذب بررسی شده‌اند [۲۵-۲۷].

پس از اصلاح FP با EDTAD و در نتیجه ورود شمار زیادی از گروه‌های آبدوست به زنجیر پروتئین، پیوندهای عرضی از راه واکنش تبادلی سولفیدریل- دی‌سولفید میان پیوندهای S-S و گروه‌های سولفیدریل (-SH) درونی ایجاد می‌شوند (شکل ۵-ب) [۲۵]. ظرفیت تورمی در اینجا نیز، همچون هیدروژل‌های سویای اصلاح شده با EDTAD، به متغیرهایی همچون pH و قدرت یونی محیط وابسته است [۲۲، ۲۴، ۲۹، ۳۰].

بررسی‌ها نشان داده است، سرعت تورم این هیدروژل‌ها در مقایسه با ابرجاذب‌های سنتزی کمتر است. این پدیده به وجود مقادیر قابل توجهی از ساختارهای تاخورده مارپیچ  $\alpha$  و صفحه  $\beta$ ، حتی پس از تقلیل در pH بازی و اصلاح با دی‌انیدرید، در مونومرهای پروتئین نسبت داده شده است. از این رو برای اصلاح سرعت تورم لازم است، مقدار ساختارهای نوع دوم تاخورده پلی‌پپتید کاهش یابد. این عمل را می‌توان از راه افزایش یک حلال آلی همچون اتانول (پیش از فرایند خشک کردن) به ژل انجام داد [۲۶، ۲۷، ۳۰]. براساس بررسی‌های Damodaran، افزایش اتانول، از دیاد چشمگیری را در مقدار جذب آب در بی دارد (شکل ۶).



شکل ۵-۵- تهیه ابرجاذب‌های پروتئینی با یک راهبرد دومرحله‌ای، داخل سازی گروه‌های آبدوست و در ادامه ایجاد پیوندهای عرضی از راه: (الف) واکنش با گلوتارآلدهید و (ب) واکنش تبادلی سولفیدریل - دی‌سولفید [۲۱].

### هیدروژل‌های پروتئینی

در زمینه هیدروژل‌های پروتئینی، برخلاف انواع پلی‌ساقاریدی، کارهای کمتری انجام گرفته است. در این میان، برخی از پروتئین‌ها همچون پروتئین دانه سویا، ماهی و پروتئین‌های پایه کالازن (مثلاً ژلاتین) بیشتر مورد توجه قرار گرفته‌اند، که در ادامه به اختصار توضیح داده می‌شوند [۲۱].

### هیدروژل‌های برپایه سویا

پروتئین سویا معمولاً به پروتئین ذخیره شده‌ای اطلاق می‌شود که در ذرات مجزا به نام پیکره پروتئین (protein body) وجود دارد. تخمین زده می‌شود، این ذرات حاوی ۶۰٪ تا ۷۰٪ پروتئین کل دانه سویا باشند [۲۲].

بخش مهمی از پژوهش‌های انجام شده در زمینه ابرجاذب‌های پروتئینی به Damodaran و همکاران از دانشگاه ویسکانسین- مدیسون (Wisconsin-Madison) اختصاص دارد [۲۳-۳۰]. اساس روش آنها، داخل سازی شمار زیادی از گروه‌های آبدوست

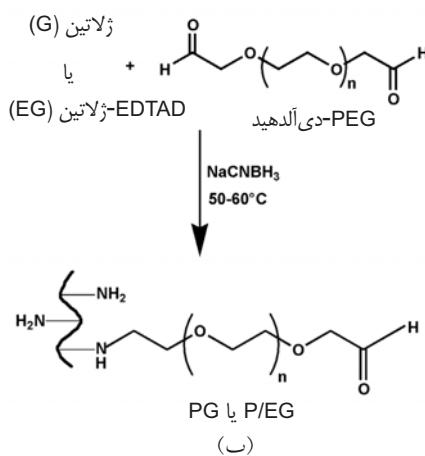
### هیدروژل‌های هیبریدی پلی‌پیتید- پلی‌ساکارید

برای یافتن پاسخ این پرسش که آیا می‌توان خواص تورمی هیدروژل‌های پروتئینی را از راه افزایش سایر پلیمرها بهبود بخشید، پژوهشگران خواص تورمی شبکه‌های پلیمری درهم‌تندیه (IPN) مرکب از پروتئین‌های اصلاح شده و برخی از پلیمرهای غیرسمی، زیست‌تخریب‌پذیر، آبدوست و محلول در آب دیگر را بررسی کردند. برخی از پلیمرهای استفاده شده در این نوع سامانه‌ها عبارتند از: پروتئین سویای اصلاح شده، ژلاتین، سدیم کربوکسی متیل سلولوز (CMC)، پلی(اتیلن گلیکول) (PEG)، پلی(وینیل الکل)، صمغ گوار (guar gum)، کیتوسان و کربوکسی متیل کیتوسان [۲۷، ۳۱-۳۶]. اهمیت این پژوهش‌ها زمانی بیشتر آشکار می‌شود که بدایم، هیدروژل‌های زیستی معمولاً سامانه‌های پروتئین-پلی‌ساکارید هستند (مثلاً در بافت غضروف). از آنجا که تقلید از عماری یک هیدروژل کامپوزیتی زیستی امری ناممکن است، نمونه‌های مشابه ساده‌تر بررسی می‌شوند [۳۲-۳۶].

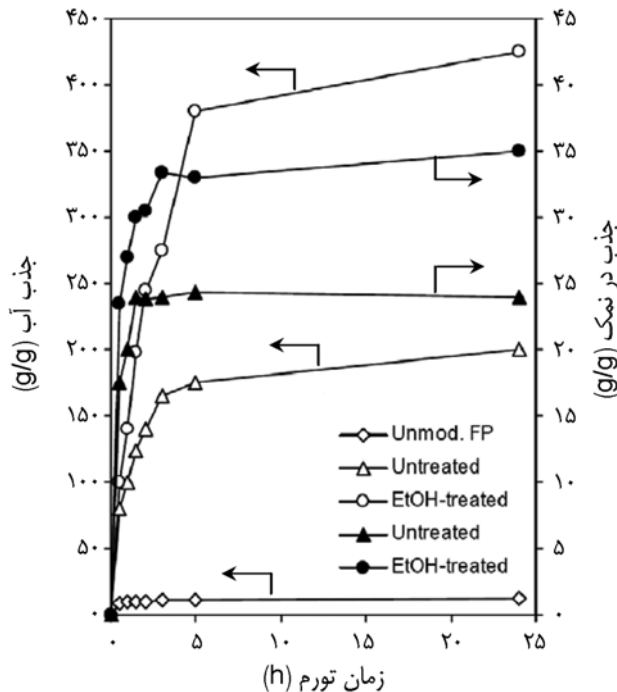
### هیدروژل‌های هیبریدی ژلاتین- سترنی

همان گونه که پیشتر نیز اشاره شد، ژلاتین از تخریب جزئی الیاف نامحلول در آب کلارژن به دست می‌آید. وجود گروه‌های عاملی واکنش‌پذیر در این ترکیب، اصلاح ساختار شیمیایی و در نتیجه بهبود خواص آن را برای کاربردهای مورد نظر امکان‌پذیر ساخته است. از سوی دیگر، می‌توان از ژلاتین در تهیه هیدروژل‌های درهم‌تندیه نیز بهره جست.

به تازگی، اصلاح ژلاتین با پلی(اتیلن گلیکول) دی‌آلدهید (PEG-دی‌آلدهید) یا EDTAD یا PEG-دی‌آلدهید و EDTAD بررسی شده است [۳۷]. ژلاتین اصلاح شده حاصل در ادامه برای تهیه

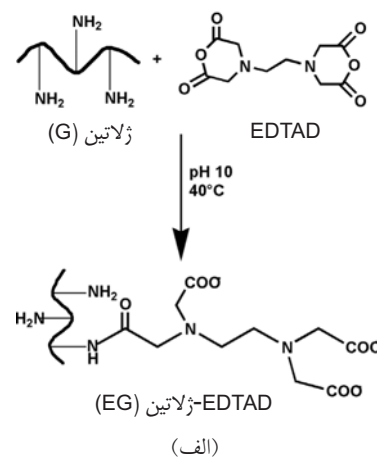


شكل ۷- اصلاح ژلاتین: (الف) (EG)-ز-لاتین-EDTAD و (ب) (EG)-ز-لاتین-PEG-ز-لاتین [۳۷].



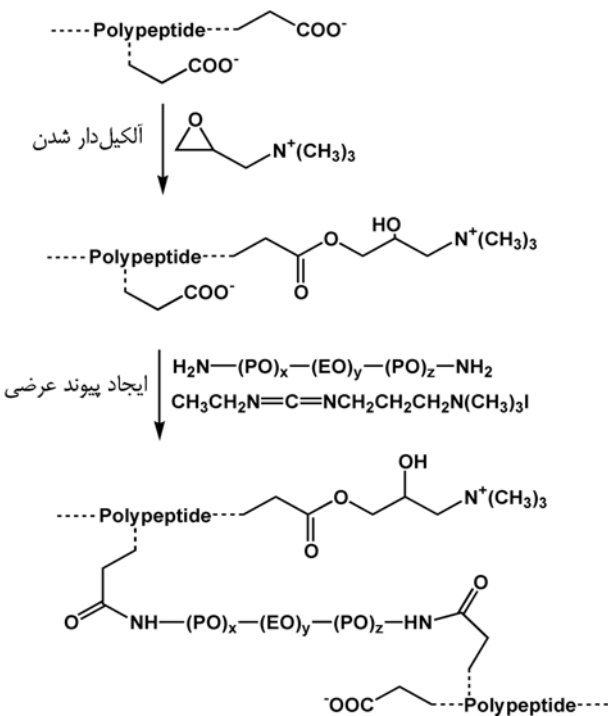
شکل ۶- ظرفیت نگهداری گریز از مرکزی آب مقطر و محلول نمکی (۰/۱ M NaCl)، نمادهای سیاه) در برابر زمان برای پروتئین ماهی اصلاح نشده (unmod. FP)، ابرجاذب بر پایه پروتئین اصلاح شده با EDTAD بدون افزایش اتانول (untreated) و ابرجاذب بر پایه پروتئین اصلاح شده با EDTAD با افزایش اتانول در مرحله نهایی (EtOH-treated). غلظت پروتئین ماهی به هنگام شبکه‌بندي با گلوتارآلدهید ۱۰٪ است. تورمها در ۳۶°C پس از گریز از مرکز در ۲۱۴ g اندازه‌گیری شده‌اند [۲۶، ۳۰].

به عنوان مثال، تقلیل هیدروژل‌های FP ۸۰٪ اصلاح شده با EDTAD، با اتانول مطلق به افزایش جذب از ۲۰۰ g/g به ۴۲۵ g/g انجامد [۲۶، ۳۰].



جدول ۱- ساختارهای شیمیابی چند نوع ژلاتین اصلاح شده، که در تهیه شبکه‌های درهم‌تنیده استفاده شده‌اند [۳۸, ۳۹].

نوع اصلاح	ساختار (گروه‌های جانبی باقی‌مانده‌های لیزیل اصلاح شده و نشده)
زنجیر اصلی ژلاتین (بدون اصلاح)	
EDTAD	
mPEGmA	
EDTAD و mPEGmA	



شکل ۸- راهبرد آlkيل دار کردن - شبکه‌بندی برای تهیه یک هیدروژل ابر جاذب برپایه ژلاتین اصلاح شده [۴۰]. علامت اختصاری (EO) و (PO) به ترتیب، نمایانگر واحدهای تکراری قطعات پلی(اتیلن گلیکول) و پلی(پروپیلن اکسید) در درشت شبکه‌ساز جفامین هستند.

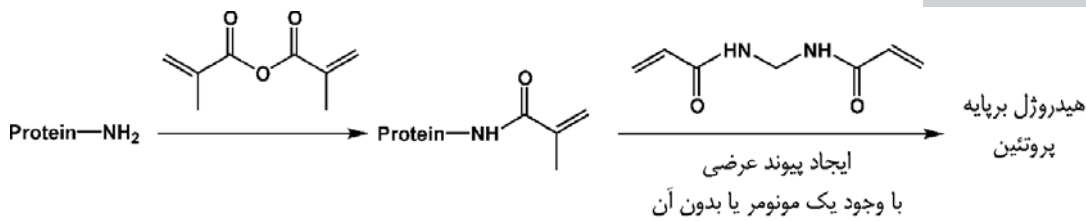
هیدروژل با استفاده از گلوتارآلدهید شبکه‌بندی شد. این پژوهش به منظور ایجاد تغییر در خواص فیزیکوشیمیابی ژلاتین، با هدف اثرگذاری بر رهایش دارو انجام گرفته است (شکل ۷).

هیدروژل‌های درهم‌تنیده مرکب از ژلاتین اصلاح شده (جدول ۱) و پلی(اتیلن گلیکول) دی‌آکریلات (PEGdA) نیز سنتز و از لحاظ شیمیابی و مکانیکی بررسی شده‌اند [۳۸]. در این سنتزها از آغازگر نوری ۲،۲-دی‌متوكسی-۲-فنیل استوفون (DMPA) زیر تابش UV استفاده شد. همچنین، رهایش دارو از این نوع هیدروژل‌ها مطالعه شده است [۳۹].

جذب آب و انحلال پذیری ژلهای پروتئینی را می‌توان با راهبرد آlkيل دار کردن - شبکه‌بندی کنترل کرد. آlkيل دار کردن ژلاتین با گلیسیدیل تری‌متیل‌آمونیوم کلرید (GTAC)، با مقدار استخلاف‌دار شدنی به کمی ۵٪، افزایش قابل ملاحظه‌ای در مقدار جذب آب را به همراه دارد [۴۰]. افزایش مقدار تورم در محیط‌های نمکی نیازمند اصلاح دوباره ژلاتین اصلاح شده با شبکه‌ساز جفامین (Jeffamine®) است. شکل ۸ چگونگی سنتز هیدروژل را به نمایش می‌گذارد. ژلهای غیریونی درهم‌تنیده مرکب از ژلاتین و پلی‌آکریل

آمید نیز تهیه و بررسی شده‌اند [۴۱-۴۴].

ژلاتین با پلی‌آکریلیک اسید و سایر پلیمرها نیز به منظور تهیه



شکل ۹- راهبرد سنتز دومرحله‌ای برای تهیه هیدروژل‌های هیریدی پروتئینی [۵۴].

۴۰°C، فرایند صوت‌دهی (sonication) برای زمانی مشخص و خشک کردن در خلا تهیه شده‌اند [۵۱]. گفتنی است، این محصول (۳۰٪) تورم در بافر فسفات (۷/۴) در حالت تورم برای زمانی طولانی، شبه‌انحال‌پذیر می‌شود. نتایج به دست آمده حاکی از آن است که نانولوله‌های کربنی افزوده شده، منجر به حفظ پایداری هیدروژل هیریدی، حتی بدون پیوند عرضی، در ۳۷°C می‌شوند. هرچند، هنگامی که شبکه‌بندی با گلوتارآلدهید انجام می‌گیرد، هیدروژلی با ظرفیت تورمی ۸۰٪ حاصل می‌شود.

هیدروژل‌های حساس به pH جدید برپایه ژلاتین و DNA نیز با استفاده از گلوتارآلدهید (شبکه‌ساز) سنتز و بررسی شده‌اند [۵۳]. به اعتقاد پژوهشگران، هیدروژل‌های هیریدی جدید، بدون شک سرآغاز فصلی نو در تهیه زیست‌موادی کارآمد، با جذابیت‌هایی فراتر از تنها جنبه‌های نظری خواهد بود [۵۱-۵۳].

#### هیدروژل‌های برپایه پروتئینی غیر از کلاآن

آلبومن سرم گاوی (bovine serum albumin, BSA) با موفقیت از راه واکنش با متاکریلیک ایدرید در شرایط ملایم اصلاح شده است [۵۴]. بدین ترتیب، پروتئینی محلول حاوی گروه‌های عاملی با قابلیت پلیمر شدن رادیکالی با سامانه آغازگر APS/TMEDA تهیه می‌شود. در ادامه، به منظور تهیه ریزدرات کروی ابرجاذب با شکل‌شناسی‌های متفاوت، BSA عامل‌دار شده به‌وسیله کوبلیمر شدن تعیینی فاز معکوس با MBA شبکه‌بندی می‌شود. به کارگیری کومونومرهای مختلف در این روش، دست‌یابی به مواد چندمنظوره با کاربردهای دارویی و پزشکی را امکان‌پذیر می‌سازد (شکل ۹).

هیدروژل‌های فیزیکی اسفنجی با قابلیت جذب آب و کشسانی زیاد و همچنین سازگاری با خون، از راه روش انجماد-ذوب شدن (freezing and thawing method) مکرر محلول PVA و آلبومن تخم مرغ با یکدیگر، تولید شده‌اند [۵۵].

اخیراً، هیدروژل‌های مرکب از نانوآلیاف تار عنکبوت توسعه یافته‌اند [۵۶]. این نوع هیدروژل‌ها، در طول هفت‌های متتمادی پایدار

هیدروژل‌های ابرجاذب، هیرید شده است [۴۵-۴۷]. به عنوان مثال، کوبلیمر شدن پیوندی آکریلیک اسید، متیل آکریلات و متیل متاکریلات در محیط آبی و در مجاورت پتاسیم پرسولفات، روی زنجیر ژلاتین بررسی شده است [۴۵]. سپس، کوبلیمرهای پیوندی حاصل برای ایجاد پیوند عرضی میان زنجیرهای ژلاتین، با گلوتارآلدهید واکنش داده شدند.

به هر حال، پژوهش‌های انجام شده در این بخش بسیار زیاد است. بحث جامعی در زمینه انواع مختلف هیدروژل‌های هیریدی ژلاتین- سنتزی، در مرجع ۲۱ ارائه شده است.

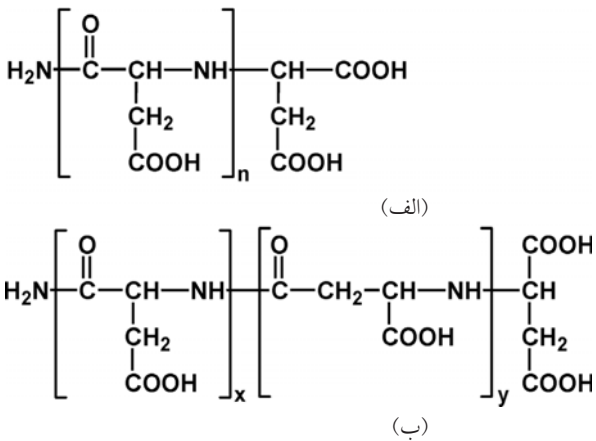
#### هیدروژل‌های کامپوزیتی ژلاتین- سنتزی- معدنی

استفاده از ترکیبات معدنی به عنوان افزودنی در تهیه هیدروژل‌های پروتئینی نیز مورد توجه قرار گرفته است. در این راستا، به تازگی ابرجاذب‌های چندسازه‌ای مرکب از کائولن- کلائز آبکافت شده یا ژلاتین پیوند خورده بر پلی‌سدیم آکریلات بررسی شده‌اند [۴۸-۵۰]. بررسی این نوع هیدروژل‌ها با استفاده از طیف IR نشان می‌دهد، گروه‌های کربوکسیلات متعلق به پلی‌آکریلیک اسید پیوند خورده، قابلیت واکنش با گروه‌های OH سطح کائولن و در نتیجه تشکیل گروه‌های استر را دارند [۴۸، ۴۹].

در اینجا ذکر این نکته ضروری به نظر می‌رسد، هرچند معمولاً یکی از دلایل افزایش این قبیل ترکیبات معدنی بهبود استحکام هیدروژل‌ها عنوان می‌شود، ولی با این حال، مatasفانه در این پژوهش‌ها آزمون‌های مناسبی همچون رئولوژی برای بررسی استحکام انجام نگرفته است [۴۸-۵۰].

#### سایر هیدروژل‌های هیریدی پایه ژلاتین

هیدروژل‌های هیریدی جدید مرکب از ژلاتین و نانولوله‌های کربنی با قابلیت بالقوه کاربرد در حوزه زیست‌پزشکی و زیست‌حسگرها نیز تهیه و بررسی شده‌اند [۵۱، ۵۲]. به عنوان مثال، به تازگی هیدروژل‌هایی از راه مخلوط کردن فیزیکی ژلاتین و نانولوله‌های چنددیواره (multiple-wall nanotubes, MWNT) در دمای بالای



شکل ۱۰- زیرواحدهای شیمیایی: (الف) پلی(آسپارتیک اسید)های یافته شده در طبیعت،  $< 50 \text{ DP}_n$  و (ب) پلی(آسپارتیک اسید)های ستزی،  $x:y = 0/7 : 0/3$  [۵۷، ۵۸].

تصادفی در زنجیر درشت مولکول توزیع شده‌اند (شکل ۱۰) [۵۷]. آسپارتیک اسید، اغلب از مالئیک اینیدرید، یا تخمیر فوماریک اسید یا گلوکوز تهیه می‌شود. از سوی دیگر، پلی(آسپارتیک اسید) عموماً از دو روش ستزی می‌شود: روش شیمیایی پیتید و فرایند پلیمرشدن گرمایی [۵۷، ۵۸].

در سال ۱۹۹۹، پژوهشگران شرکت رام و هاس (Rohm and Haas)، سدیم پلیآسپارتات‌های با جرم مولکولی زیاد و شبکه‌بندی جزئی را به عنوان رده جدیدی از ابرجاذب‌های حساس به pH و الکترولیت معرفی کردند [۵۹]. این هیدروژل‌ها، که حاصل واکنش پلیآسپارتات با اتیلن گلیکول دی‌گلیسیدیل اتر هستند، در کنار بهره‌مندی از اکثر جنبه‌های ابرجاذب‌های تجاری پایه آکریلی، از زیست‌تخربی‌پذیری بهبود یافته‌ای نیز برخوردارند. در این روش، هیدروژل‌هایی با ظرفیت جذب تا  $400 \text{ g/g}$  در آب مقطر یا تا  $50 \text{ g/g}$  در محلول  $0/9\% \text{ NaCl}$  تهیه شدند.

پلیاتیلن گلیکول دی‌گلیسیدیل اتر (PEG-دی‌اپوکسید) با جرم‌های مولکولی مختلف نیز برای تهیه هیدروژل‌های ابرجاذب زیست‌تخربی‌پذیر برپایه پلی(آسپارتیک اسید) به کار گرفته شده است (شکل ۱۱-الف) [۶۰]. در این روش، پلی(سوکسینیمید)، PSI، حاصل از گرمایش-L-آسپارتیک اسید، با محلول  $\text{NaOH}$   $\text{N} / ۰$  آبکافت می‌شود. پس از اسیدی کردن، پلی(آسپارتیک اسید) محلول در آب تولید می‌شود. آنگاه، این پلیمر به منظور تهیه هیدروژل ابرجاذب با PEG-دی‌اپوکسید ( $30\text{-}50\%$  mol) در دمایا ( $60\text{-}100^\circ\text{C}$ ) و زمان‌های ( $1\text{-}20 \text{ h}$ ) مختلف پخت می‌شود. گمان می‌رود، این ابرجاذب‌ها در آینده در زمینه‌های مختلفی همچون زیست‌پزشکی و بهداشت شخصی کاربرد یابند [۵۸-۶۰].

بوده و مدول کثسانی زیادی ( $\sim 1000 \text{ Pa}$ ) را در اجزای حجمی کم از خود نشان می‌دهند. از این رو، این مواد برای گستره وسیعی از کاربردهای زیستی مناسب‌اند.

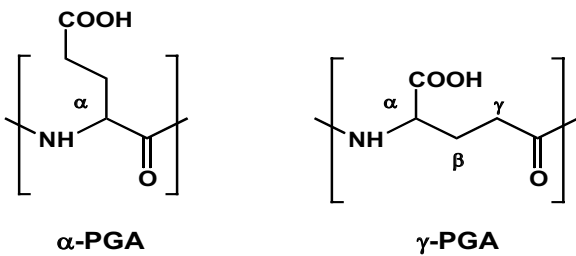
### هیدروژل‌های غیرپروتئینی

مشخص شده است، هوموپلیمرهای آمینواسیدها و مشتقان آنها خواص زیست‌شیمیایی و زیست‌پزشکی جالبی را ارائه می‌دهند. پیوندهای آمیدی شبه‌پروتئینی که در پلی‌آمینواسیدها یافت می‌شوند، در اصل ضامن ایجاد پلیمرهایی کاملاً زیست‌تخریب‌پذیر، با گستره وسیعی از کاربردها، به ویژه کاربردهای زیستی‌اند. این زیست‌درشت مولکول‌ها را به طور کلی می‌توان به سه دسته تقسیم کرد: پلی(آسپارتیک اسید)، پلی(۶-لیزین) و پلی(گلوتامیک اسید). در این میان، تنها پلی(آسپارتیک اسید)‌ها تاکنون به شکل هموپلی‌پیتید در طبیعت یافت نشده‌اند. از سوی دیگر، تلاش‌ها برای تولید این ماده از روش‌های زیست‌فاوری نیز ناکام مانده است. در این بخش، به طور مختصر، به معرفی برخی هیدروژل‌های ستزی شده تاکنون برپایه این ترکیبات پرداخته می‌شود. گفتنی است، بحث جامعی در این زمینه در مرجع ۲۱ آمده است.

### پلی(آسپارتیک اسید)

پروتئین‌های پلی‌آنیونی غنی از آسپارتیک اسید و فسفوسرین، که حاوی ریزساختارهایی تا  $50$  زیرواحد آسپارتیک اسید هستند، فرایند زیست‌کانی شدن (biomineralization) را کنترل می‌کنند. این فرایند، مسئول تولید استخوان‌ها، صدف یا لاک و دندان است [۵۷]. این پروتئین‌ها تجمع و رشد بلورها را (نه تنها در بدن بلکه همچنین در فرایندهای آزمایشگاهی) در طول فرایند بلور تحت تاثیر قرار می‌دهند. به منظور تقلید از خواص عملکردی و ساختاری این پروتئین‌ها، اولین تلاش‌ها در دهه ۱۹۸۰ میلادی برای به کارگیری این شیوه در کاربردهای صنعتی انجام گرفت. با الهام از سازوکارهای به موقع پیوسته در طبیعت (زیست‌طراحی)، پلی‌آسپارتات‌ها را می‌توان برای حل مشکلات فنی مختلف به کار گرفت، که از جمله می‌توان به فرایندهایی که برپایه بلور یا رسوب دادن مجدد مواد معدنی هستند، اشاره کرد [۵۷، ۵۸].

ساختارهای پلی‌آسپارتیک اسید در شکل طبیعی تنها حاوی اجزای  $\alpha$  هستند، که به عنوان بخشی از پروتئین‌های پلی‌آنیونی غنی از آسپارتیک اسید و فسفوسرین وجود دارند. در مقابل، پلی‌آسپارتیک اسیدهای حاصل از فرایندهای پلیمرشدن گرمایی حاوی مخلوطی از اجزای  $\alpha$  و  $\beta$  به نسبت مولی ثابت  $30$  به  $70$  هستند، که به طور



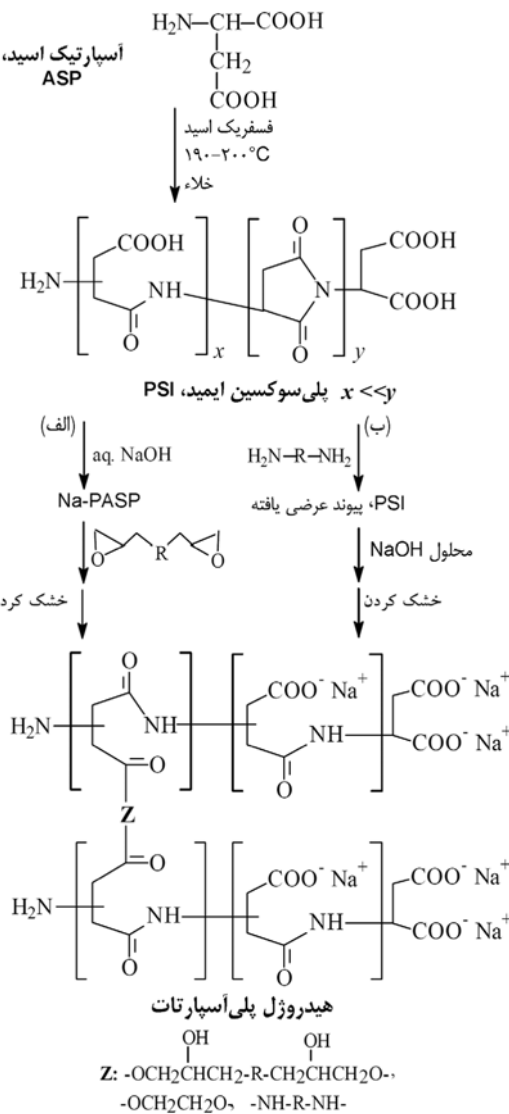
طرح ۴ - ساختارهای  $\alpha$  و  $\gamma$  پلی(گلوتامیک اسید).

به تازگی پژوهشگران از راه واکنش ایجاد پیوند عرضی با دی‌آمین، ابرجاذب‌های پایه پلی(آسپارتیک اسید) جدیدی را سنتز کرده‌اند [۶۱-۶۶]. این رهیافت سنتزی در شکل ۱۱-ب نشان داده شده است. هیدروژل‌های متنوع دیگری نیز برپایه پلی(آسپارتیک اسید) سنتز و بررسی شده‌اند. برای مطالعه بیشتر در این زمینه بهتر است به مرجع ۲۱ مراجعه شود.

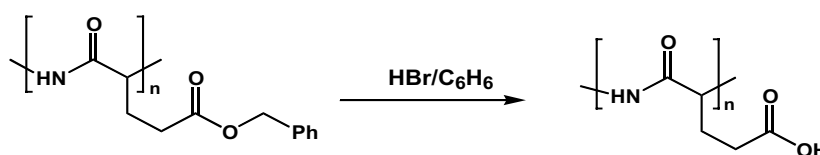
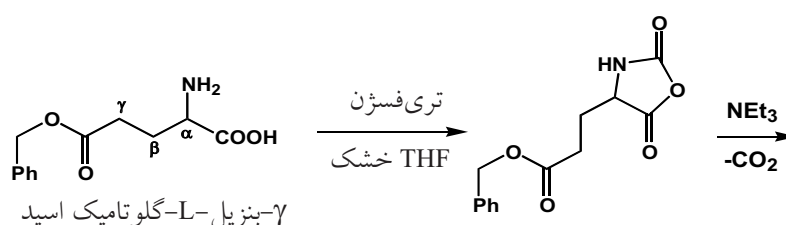
#### پلی(گلوتامیک اسید)

پلی(گلوتامیک اسید) (PGA) به دو شکل  $\alpha$  و  $\gamma$  وجود دارد (طرح ۴).  $\gamma$ -PGA، هوموپلی‌آمینواسیدی است که توسط برخی از باکتری‌ها در خارج از سلول تولید می‌شود. این ترکیب محلول در آب و زیست‌تخرب پذیر بوده و از جرم مولکولی نسبی زیادی (۱۰۰,۰۰۰-۱,۰۰۰,۰۰۰) برخوردار است [۵۷]. از سوی دیگر،  $\alpha$ -PGA برخلاف  $\gamma$ -PGA، تاکنون در طبیعت یافته نشده و تنها از روش‌های سنتزی قابل حصول است. شکل ۱۲ سنتز چندمرحله‌ای این پلیمر را از  $\gamma$ -بنزیل-L-گلوتامیک اسید نشان می‌دهد [۷۵,۷۶].

تاکنون، هیدروژل‌های مختلفی برپایه این دو آمینواسید سنتز و بررسی شده‌اند [۶۷-۷۶] که در جدول ۲ گردآوری شده است.



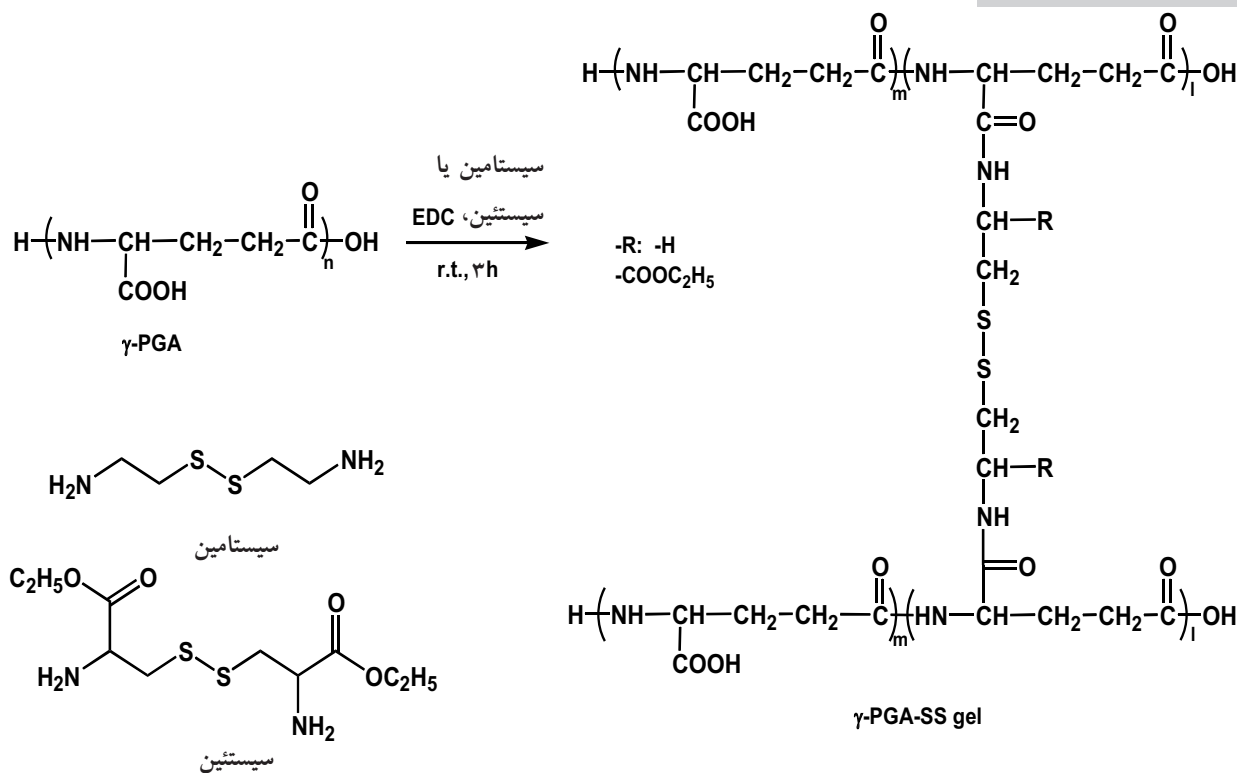
شکل ۱۱- روش‌های مختلف سنتز برای تهیه هیدروژل‌های ابرجاذب برپایه سدیم پلی‌آسپارتات: (الف)  $\text{R}=\text{OCH}_2\text{CH}_2\text{O}$  یا PEG و (ب) زنجیر هگزامتیلن =  $\text{R}=\text{C}_6\text{H}_4-\text{CH}_2-\text{CH}_2-\text{O}-\text{CH}_2-\text{CH}_2-\text{CH}_2-\text{O}-\text{CH}_2-\text{CH}_2-\text{CH}_2-\text{O}-$ .



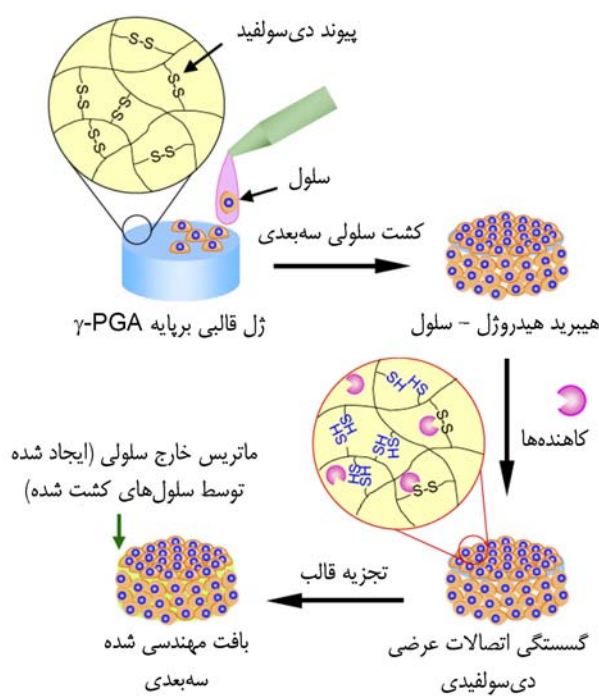
شکل ۱۲- سنتز چندمرحله‌ای پلی( $\alpha$ -گلوتامیک اسید) (α-PGA) از  $\gamma$ -بنزیل-L-گلوتامیک اسید [۷۵,۷۶].

جدول ۲- روش‌های تهیه هیدرولزهای ابرجاذب بروپایه  $\text{PL}$  و  $\text{PGA}$  در آب مقطر ( $\text{DW}$ ) یا محلول‌های بافر (مثال، phosphate buffer saline، PBS) (phosphate buffer saline، PBS) و  $\text{PL}$ . ظرفیت جذب تعادلی ( $\text{DW}$ ) یا محلول‌های بافر (مثال، phosphate buffer saline، PBS) و  $\text{PL}$  اندازه‌گیری شده است [۲۱].

ردیف	هموپلی (آمینو اسید)	عامل شبکه‌ساز	ظرفیت تردم (g/g)	مرجع
۱	$\gamma\text{-PGA}$	پرتوهدی با پرتو گاما	۰.۵-۰.۲۰ در آب مقطر	[۵۷، ۵۸]
۲	$\text{-PGA}/\varepsilon\text{-PL}\gamma$	پرتوهدی با پرتو گاما	۰.۳۵ در آب مقطر ( $\text{pH} = \gamma/\text{V}$ )	[۵۷، ۶۰]
۳	$\gamma\text{-PGA}$	-	۰.۳۰ در آب مقطر ( $\text{pH} = \gamma/\text{V}$ )	[۵۷]
۴	$\gamma\text{-PGA}$	$X = X-(\text{CH}_2)_n-X$	۰.۳۰ در آب مقطر ( $\text{pH} = \gamma/\text{V}$ )	[۵۸]
۵	$\gamma\text{-PGA}$	$n = H_2N-(\text{CH}_2)_n-NH_2$	۰.۳۰ در آب مقطر تا ۰.۴ در آب مقطر ( $\text{pH} = \gamma/\text{V}$ )	[۵۸]
۶	$\gamma\text{-PGA}$	سیستامین یا سیستین	۰.۳۰ در آب مقطر تا ۰.۴ در آب مقطر ۰.۴ در آب مقطر	[۵۸]
۷	$\gamma\text{-PGA}$	$OCN-(\text{CH}_2)_6-NCO$	۰.۳۰ در آب مقطر تا ۰.۴ در آب مقطر ( $\text{pH} = \gamma/\text{V}$ )	[۵۸]
۸	$\gamma\text{-PGA}$	EGDGE	۰.۳۰ در آب مقطر تا ۰.۴ در آب مقطر ( $\text{pH} = \gamma/\text{V}$ )	[۵۸]
۹	$\alpha\text{-PGA}$	MW برابر ۳۴۰۰۰۰	۰.۳۰ در آب مقطر تا ۰.۴ در آب مقطر ( $\text{pH} = \gamma/\text{V}$ )	[۵۸]
۱۰	پلی-گلوتامیک اسید (α- $\text{a}$ )	PEGDMA	۰.۳۰ در آب مقطر تا ۰.۴ در آب مقطر ( $\text{pH} = \gamma/\text{V}$ )	[۵۸]
۱۱	$\varepsilon\text{-PL}$	پرتوهدی با پرتو گاما	۰.۳۰ در آب مقطر تا ۰.۴ در آب مقطر ( $\text{pH} = \gamma/\text{V}$ )	[۵۸]
۱۲	$\varepsilon\text{-PL}$	پرتوهدی با پرتو گاما	۰.۳۰ در آب مقطر تا ۰.۴ در آب مقطر ( $\text{pH} = \gamma/\text{V}$ )	[۵۸]
۱۳	$\varepsilon\text{-PL/CMC}$	-	۰.۳۰ در آب مقطر تا ۰.۴ در آب مقطر مدخل کردن (h/۰.۵)، تهیه فیلم	[۵۹]



شکل ۱۳- ستز هیدروژل‌های  $\gamma$ -PGA-SS یا سیستامین یا سیستئین به عنوان شبکه‌ساز استفاده شده‌اند [۷۲].



شکل ۱۴- نمایی از بافت‌های مهندسی شده سه‌بعدی مرکب از سلول‌ها و ماتریس‌های خارج سلولی، که از راه تجزیه ژل قالب  $\gamma$ -PGA-SS در اثر شکست پیوندهای دی‌سولفیدی به گروه‌های تیول ایجاد شده‌اند [۷۲].

برای ایجاد پیوند عرضی، هم از پرتودهی با پرتو  $\gamma$  [۶۹-۶۷] و هم از روش‌های شیمیایی بهره‌گیری شده است [۷۰-۷۶]. این هیدروژل‌ها کاربردهای متنوعی را در زمینه‌های گوناگون از جمله تصفیه آب [۶۹] و مهندسی بافت [۷۲] یافته‌اند.

به تازگی هیدروژل‌هایی بر پایه PGA توسط برخی از شرکت‌های رژپنی توسعه یافته‌اند که برای تصفیه آب مناسب‌اند. مقدار کمی از این منعقد کننده (مثلًا ppm ۲) به همراه پلی(آلومینیم کلرید) را می‌توان به طور کارآمد برای تصفیه آب‌های کدر (گل آلد) استفاده کرد [۶۹].

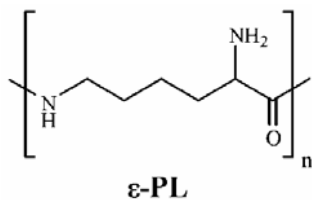
هیدروژل‌های بر پایه PGA در مهندسی بافت نیز کاربرد یافته‌اند [۷۲]. در این روش، در ابتدا برای تهیه هیدروژل مورد استفاده،  $\gamma$ -PGA از راه واکنش تراکمی با سیستامین یا سیستئین (حاوی پیوند S-S و گروه‌های آمین در دو انتهای شبکه‌بندی می‌شود. سپس، این هیدروژل‌ها به عنوان قالب برای ایجاد بافت‌های مهندسی شده سه‌بعدی متشكل از تنها سلول‌ها و ماتریس‌های خارج سلولی استفاده می‌شوند.

این هیدروژل‌ها به راحتی در شرایط فیزیولوژیکی با کمک کاهنده‌هایی همچون سیستئین، گلوتاتیون و دی‌تیوتئینول از راه گستنگی پیوندهای دی‌سولفیدی به گروه‌های تیول تجزیه می‌شوند (شکل‌های ۱۳ و ۱۴).

## ۲۱ مراجعه شود.

## نتیجه‌گیری

با توجه به آنچه گذشت، روشی است که سنتز و بررسی هیدروژلهای جدید بر پایه پلی‌آمینو اسیدها به دلیل سازگاری این مواد با محیط زیست و زیست‌تخریب‌پذیری آنها می‌تواند در آینده بسیار سودمند باشد. از سوی دیگر، هر هیدروژل باید دارای خواصی مناسب با کاربرد نهایی باشد. هرچند این مهم، توسط پژوهشگران دانشگاهی کمتر مورد توجه قرار گرفته است. اینان، برخلاف همتایان خود در صنعت، تنها به تلاش برای سنتز ابرجاذب‌های جدید اکتفا کرده و کمتر به بررسی خواص این مواد (مانند محتوای ژل و استحکام مکانیکی و ...) علاقه نشان داده‌اند. از این رو، بررسی اثر عوامل مختلف بر خواص نهایی هیدروژلهای می‌تواند بسیار سودمند باشد.



طرح ۵- ساختار پلی‌لیزین.

پلی(ε-لیزین)

پلی‌لیزین توسط نوعی باکتری تولید می‌شود (طرح ۵) [۷۷]. این ترکیب محلول در آب و زیست‌تخریب‌پذیر بوده و از جرم مولکولی تقریباً ۴۰۰۰ تا ۳۰۰۰ باقی‌مانده) برخوردار است. در ساختار این پلیمر گروه‌های  $\alpha$ -کربوکسیل و  $\epsilon$ -آمینو به یکدیگر متصل شده‌اند [۷۷]. اخیراً Shih و همکاران در مقاله‌ای مروری روش‌های تولید و

کاربردهای مختلف این ترکیب را بررسی کرده‌اند [۷۷].

تاکنون، هیدروژلهای مختلفی بر پایه این پلیمر سنتز و بررسی شده‌اند، که برخی از این هیدروژلهای در جدول ۲ گردآوری شده است. برای شرح کاملی از این نوع هیدروژلهای بهتر است به مرجع

## مراجع

- Johnson J., New World for Biofuels, Ethanol Production Standards will Transform Biofuels Business, Advocates Predict, *Chem. Eng. News*, **86**, 10, 2008.
- Business Concentrates, Dow to Make Polyethylene from Sugar in Brazil, *Chem. Eng. News*, **85**, 17, 2007.
- Business Concentrates, Ford Develops Soy Polyurethanes, *Chem. Eng. News*, **85**, 16, 2007.
- Zhao H., Holladay J.E., Brown H., and Zhang Z.C., Metal Chlorides in Ionic Liquid Solvents Convert Sugars to 5-Hydroxymethylfurfural, *Science*, **316**, 1597-1600, 2007.
- Roman-Leshkov Y., Barrett C.J., Liu Z.Y., and Dumesic J.A., Production of Dimethylfuran for Liquid Fuels from Biomass-Derived Carbohydrates, *Nature*, **447**, 982-985, 2007.
- Sweet Solution to Petroleum Substitutes, *Chemistry World*, **4**, 23 July, 2007.
- محمد جلال ظهوریان‌مهر، سوپرجاذب‌ها، انجمن پلیمر ایران، تهران، زمستان ۱۳۸۵.
- مجموعه مقالات دومین دوره تخصصی-آموزشی کاربردهای کشاورزی و صنعتی هیدروژلهای سوپرجاذب، پژوهشگاه پلیمر و پتروشیمی ایران، ۲۸ بهمن ۱۳۸۱.
- Buchholz F.L. and Graham A.T., *Modern Superabsorbent Polymer Technology*, Wiley-VCH, New York, 1998.
- Superabsorbents, Website of the European Disposables and Nonwovens Association (EDANA), [www.edana.org](http://www.edana.org), available in 28 May 2008.
- Morrison R.T. and Boyd R.N., *Organic Chemistry*, 5<sup>th</sup> ed., Allyn and Bacon, 1987.
- Nelson D.L. and Cox M.M., *Lehninger Principles of Biochemistry*, 3<sup>rd</sup> ed., Worth, New York, 45-59, 2000.
- Raymond K.W., *General Organic and Biological Chemistry: An Integrated Approach*, John Wiley & Sons, 2006.
- Martin D.W., Mayes P.A., and Rodwell V.W., *Harper's Review of Biochemistry*, 31-37, Lange Medical, 1981.
- Hendrix M.L., Protein, *Microsoft Encarta Reference Library*, 2002.
- <http://en.wikipedia.org/wiki/Keratin>
- Kozlov P.V. and Burdygina G.I., The Structure and Properties of Solid Gelatin and the Principles of their Modification, *Polymer*, **24**, 651-666, 1983.
- فرزاد صیدی فلعله‌گا، بخش اول، بهینه‌سازی هیدروژلهای ابرجاذب جدید بر پایه ژلاتین از طریق روش آماری تاگرچه و بررسی رفتار تورمی آن در شرایط مختلف، پایان‌نامه کارشناسی ارشد شیمی آلی، دانشگاه صنعتی



- شیریف، شهریور ۱۳۸۵.
۱۹. مژگان زندی، ژلاتین، انجمن علوم و مهندسی پلیمر ایران، تهران، ۱۳۹۳.
20. Taffin A. and Pluvinet R., Hydrolyzed Collagen, *Wellness Foods Europe*, November, 14-18, 2006.
21. Zohuriaan-Mehr M.J., Pourjavadi A., Salimi H., and Kurdtabar M., Protein- and Homo Poly(amino acid)-Based Hydrogels with Super-Swelling Properties (Review), *Polym. Adv. Technol.*, **20**, 655-671, 2009.
22. Wikipedia, The Free Encyclopedia, [http://en.wikipedia.org/wiki/soy\\_protein](http://en.wikipedia.org/wiki/soy_protein).
23. Hwang D.C. and Damodaran S., Equilibrium Swelling Properties of a Novel Ethylenediaminetetraacetic Dianhydride (EDTAD)-Modified Soy Protein Hydrogel, *J. Appl. Polym. Sci.*, **62**, 1285-1293, 1996.
24. Hwang D.C. and Damodaran S., Chemical Modification Strategies for Synthesis of Protein-Based Hydrogel, *J. Agric. Food Chem.*, **44**, 751-758, 1996.
25. Hwang D.C. and Damodaran S., Synthesis and Properties of Fish Protein-Based Hydrogel, *J. Am. Oil Chem. Soc.*, **74**, 1165-1171, 1997.
26. Rathna G.V.N. and Damodaran S., Swelling Behavior of Protein-Based Superabsorbent Hydrogels Treated with Ethanol, *J. Appl. Polym. Sci.*, **81**, 2190-2196, 2001.
27. Rathna G.V.N. and Damodaran S., Effect of Nonprotein Polymers on Water-Uptake Properties of Fish Protein-Based Hydrogel, *J. Appl. Polym. Sci.*, **85**, 45-51, 2002.
28. Hwang D.C. and Damodaran S., Metal-Chelating Properties and Biodegradability of an Ethylenediamine Tetraacetic Acid Dianhydride Modified Soy Protein Hydrogel, *J. Appl. Polym. Sci.*, **64**, 891-901, 1997.
29. Damodaran S. and Hwang D.C., Carboxyl-Modified Superabsorbent Protein Hydrogel, *US Pat. 5,847,089*, 1998.
30. Damodaran S., Carboxyl-Modified Superabsorbent Protein Hydrogel, *US Pat. 6,310,105 B1*, 2001.
31. Damodaran S., Protein-Polysaccharide Hybrid Hydrogels, *US Pat. 6,821,331 B2*, 2004.
32. Chatterji P.R. and Kaur H., Interpenetrating Hydrogel Networks: 3. Properties of the Gelatin-Sodium Carboxymethylcellulose System, *Polymer*, **33**, 2388-2391, 1992.
33. Yao K.D., Yin Y.J., Xu M.X., and Wang Y.F., Investigation of pH-Sensitive Drug Delivery System of Chitosan/Gelatin Hybrid Polymer Network, *Polym. Int.*, **38**, 77-82, 1995.
34. Fang Y.E., Cheng Q., and Lu X.B., Kinetics of in vitro Drug

Release from Chitosan/Gelatin Hybrid Membranes, *J. Appl. Polym. Sci.*, **68**, 1751-1758, 1998.

35. Yao K.D., Liu W.G., Lin Z., and Qiu X.H., In situ Atomic Force Microscopy Measurement of the Dynamic Variation in the Elastic Modulus of Swollen Chitosan/Gelatin Hybrid Polymer Network Gels in Media of Different pH, *Polym. Int.*, **48**, 794-798, 1999.
36. Chen L., Du Y., and Huang R., Novel pH, Ion Sensitive Polyampholyte Gels Based on Carboxymethyl Chitosan and Gelatin, *Polym. Int.*, **52**, 56-61, 2003.
37. Einerson N.J., Stevens K.R., and Kao W.J., Synthesis and Physicochemical Analysis of Gelatin-Based Hydrogels for Drug Carrier Matrices, *Biomaterials*, **24**, 509-523, 2002.
38. Martinez-Diaz G.J., Nelson D., Crone W.C., and Kao W.J., Mechanical and Chemical Analysis of Gelatin-Based Hydrogel Degradation, *Macromol. Chem. Phys.*, **204**, 1898-1908, 2003.
39. Burmania J.A., Martinez-Diaz G.J., and Kao W.J., Synthesis and Physicochemical Analysis of Interpenetrating Networks Containing Modified Gelatin and Poly(ethylene glycol) Diacrylate, *J. Biomed. Mater. Res.*, **67A**, 224-234, 2003.
40. Kiick-Fischer K.L. and Tirrell D.A., Controlling Absorbency in Gelatin Networks: Preparation and Characterization of Alkylated, Crosslinked Gelatin, *J. Appl. Polym. Sci.*, **68**, 281-292, 1998.
41. Chatterji P.R., Interpenetrating Hydrogel Network, I. The Gelatin-Polyacryamide System, *J. Appl. Polym. Sci.*, **40**, 401-410, 1990.
42. Kaur H. and Chatterji P.R., Interpenetrating Hydrogel Network: 2. Swelling and Mechanical Properties of the Gelatin-polyacryamide Interpenetrating Networks, *Macromolecules*, **23**, 4868-4871, 1990.
43. Ramaraj B. and Radhakrishnan G., Interpenetrating Hydrogel Networks Based on Gelatin and Polyacryamide: Synthesis, Swelling, and Drug Release Analysis, *J. Appl. Polym. Sci.*, **52**, 837-846, 1994.
44. Chauhan G. S., Kumar S., Kumari A., and Sharma R., Study on the Synthesis, Characterization, and Sorption of Some Metal Ions on Gelatin- and Acryamide-Based Hydrogels, *J. Appl. Polym. Sci.*, **90**, 3856-3871, 2003.
45. Chatterji P.R., Gelatin with Hydrophilic/Hydrophobic Grafts and Glutaraldehyde Crosslinks, *J. Appl. Polym. Sci.*, **37**, 2203-2212, 1989.

46. Burugapalli K., Bhatia D., Koul V., and Choudhary V., Interpenetrating Polymer Networks Based on Poly(acrylic acid) and Gelatin. I: Swelling and Thermal Behavior, *J. Appl. Polym. Sci.*, **82**, 217-227, 2001.
47. Singh D., Choudhary V., and Koul V., Radiation Synthesis of Interpenetrating Polymer Networks Based on N-vinyl Pyrrolidone-Acrylic Acid Copolymer and Gelatin. I. Swelling, Morphology, and Thermal Characterization for Biomedical Applications, *J. Appl. Polym. Sci.*, **104**, 1456-1463, 2007.
48. Pourjavadi A., Feizabadi K.H., and Hosseinzadeh H., Synthesis and Swelling Behavior of a Novel Protein-Based Superabsorbent Hydrogel Composite: Collagen-g-Poly(sodium acrylate)/Kaolin, *J. Polym. Mater.*, **23**, 331-339, 2006.
49. Pourjavadi A., Hosseinzadeh H., and Sadeghi M., Synthesis, Characterization and Swelling Behavior of Gelatin-g-poly(sodium acrylate)/Kaolin Superabsorbent Hydrogel Composites, *J. Compos. Mater.*, **41**, 2057-2069, 2007.
50. Pourjavadi A., Ayyari M., and Amini-Fazl M.S., Taguchi Optimized Synthesis of Collagen-g-poly(acrylic acid)/Kaolin Composite Superabsorbent Hydrogel, *Eur. Polym. J.*, **44**, 1209-1216, 2008.
51. Li. H., Wang D.Q., Chen H.L., Liu B.L., and Gao L.Z., A Novel Gelatin-Carbon Nanotubes Hybrid Hydrogel, *Macromol. Biosci.*, **3**, 720-724, 2003.
52. Haider S., Park S.Y., Saeed K., and Farmer B.L., Swelling and Electroresponsive Characteristics of Gelatin Immobilized onto Multi-Walled Carbon Nanotubes, *Sensors and Actuators B: Chemical*, **124**, 517-528, 2007.
53. Liu W.G., Li X.W., Ye G.X., Sun S.J., Zhu D., and Yao K.D., A Novel pH-Sensitive Gelatin-DNA Semi-Interpenetrating Polymer Network Hydrogel, *Polym. Int.*, **53**, 675-680, 2004.
54. Iemma F., Spizzirri U.G., Muzzalupo R., Puoci F., Trombino S., and Picci N., Spherical Hydrophilic Microparticles Obtained by the Radical Copolymerization of Functionalized Bovine Serum Albumin, *Colloid. Polym. Sci.*, **283**, 250-256, 2004.
55. Bajpai A.K. and Saini R., Preparation and Characterization of Novel Biocompatible Cryogels of Poly(vinyl alcohol) and Egg-Albumin and their Water Sorption Study, *J. Mater. Sci.: Mater. Med.*, **17**, 49-61, 2006.
56. Rammensee S., Huemmerich D., Hermanson K.D., Scheibel T., and Bausch A.R., Rheological Characterization of Hydrogels Formed by Recombinantly Produced Spider Silk, *Appl. Phys. A, Mater. Sci. Proc.*, **82**, 261-264, 2006.
57. Fahnestock S.R. and Steinbuchel A., *Biopolymers, Polyamides and Complex Proteinaceous Materials I*, Wiley-VCH, Weinheim, Vol. 7, Chap. 5-7, 2003.
58. Schwamborn M., Chemical Synthesis of Polyaspartates: a Biodegradable Alternative to Currently Used Polycarboxylate Homo- and Copolymers, *Polym. Degrad. Stabil.*, **59**, 39-45, 1998.
59. Chang C.J. and Swift G., Poly(aspartic acid) Hydrogel, *J. Macromol. Sci., Pure Appl. Chem.*, **A36**, 963-970, 1999.
60. Min S.K., Kim J.H., and Chung D.J., Swelling Behavior of Biodegradable Crosslinked Gel Based on Poly(aspartic Acid) and PEG-Diepoxyde, *Korea Polym. J., (Macromol. Res.)*, **9**, 143-149, 2001.
61. Zhao Y., Su H., Fang L., and Tan T., Superabsorbent Hydrogels from Poly(aspartic acid) with Salt-, Temperature- and pH-Responsiveness Properties, *Polymer*, **46**, 5368-5376, 2005.
62. Zhao Y., Fang L., and Tan T., Optimization of the Preparation of a Poly(aspartic acid) Superabsorbent Resin with Response Surface Methodology, *J. Appl. Polym. Sci.*, **102**, 2616-2622, 2006.
63. Fang L., Zhao Y., and Tan T.W., Preparation and Water Absorbent Behavior of Superabsorbent Polyaspartic Acid Resin, *J. Polym. Res.*, **13**, 145-152, 2006.
64. Fang L., Yang J., Tan T. W., Effect of Drying Process on Structure and Property of Polyaspartic Acid Resin, *J. Sol-Gel Sci. Tech.*, **40**, 89-99, 2006.
65. Yang J., Fang L., and Tan T., Synthesis and Characterization of Superabsorbent Hydrogels Composites Based on Polysuccinimide, *J. Appl. Polym. Sci.*, **102**, 550-557, 2006.
66. Yang J., Fang L., Wang F., and Tan T., Preparation and Characterization of a Novel pH-, Thermo-, and Ionic Strength-Responsive Hydrogels Based on Xanthan Gum-Poly(aspartic acid), *J. Appl. Polym. Sci.*, **105**, 539-546, 2007.
67. Kunioka M. and Choi H.J., Hydrolytic Degradation and Mechanical Properties of Hydrogels Prepared from Microbial Poly(amino acid)s, *Polym. Degrad. Stabil.*, **59**, 33-37, 1998.
68. Choi H.J., Yang R., and Kunioka M., Synthesis and Characterization of pH-Sensitive and Biodegradable Hydrogels Prepared by  $\gamma$ -Irradiation Using Microbial Poly( $\gamma$ -glutamic acid) and Poly( $\epsilon$ -lysine), *J. Appl. Polym. Sci.*, **58**, 807-814, 1995.
69. Kunioka M., Biodegradable Water Absorbent Synthesized from Bacterial Poly(amino acid)s, *Macromol. Biosci.*, **4**, 324-

- 329, 2004.
70. Gonzales D., Fan K., and Sevoian M., Synthesis and Swelling Characterizations of a Poly(gamma-glutamic acid) Hydrogel, *J. Polym. Sci., Part A: Polym. Chem.*, **34**, 2019-2027, 1996.
  71. Kunioka M. and Furusawa K., Poly( $\gamma$ -glutamic acid) Hydrogel Prepared from Microbial Poly( $\gamma$ -glutamic acid) and Alkanediamine with Water-Soluble Carbodiimide, *J. Appl. Polym. Sci.*, **65**, 1889-1896, 1997.
  72. Matsusaki M., Yoshida H., and Akashi M., The Construction of 3D-Engineered Tissues Composed of Cells and Extracellular Matrices by Hydrogel Template Approach, *Biomaterials*, **28**, 2729-2737, 2007.
  73. Shimokuri T., Kaneko T., and Akashi M., Specific Thermo-sensitive Volume Change of Biopolymer Ggels Derived from Propylated Poly( $\gamma$ -glutamate)s, *J. Polym. Sci., Part A: Polym. Chem.*, **42**, 4492-4501, 2004.
  74. Matsusaki M., Serizawa T., Kishida A., and Akashi M., Novel Functional Biodegradable Polymer. III. The Construction of Poly( $\gamma$ -glutamic acid)-Sulfonate Hydrogel with Fibroblast Growth Factor-2 Activity, *J. Biomed. Mater. Res.*, **73A**, 485-491, 2005.
  75. Markland P., Zhang Y., Amidon G.L., and Yang V.C., A pH-and Ionic Strength-Responsive Polypeptide Hydrogel: Synthesis, Characterization and Preliminary Protein Release Studies, *J. Biomed. Mater. Res.*, **47**, 595-602, 1999.
  76. Yang Z., Zhang Y., Markland P., and Yang V.C., Poly(glutamic acid) Poly(ethylene glycol) Hydrogels Prepared by Photoinduced Polymerization: Synthesis, Characterization, and Preliminary Release Studies of Protein Drugs, *J. Biomed. Mater. Res.*, **62**, 14-21, 2002.
  77. Shih I.L., Shen M.H., and Van Y.T., Microbial Synthesis of Poly( $\epsilon$ -lysine) and its Various Applications, *Bioresource Technol.*, **97**, 1148-1159, 2006.
  78. Kunioka M. and Choi H.J., Properties of Biodegradable Hydrogels Prepared by  $\gamma$  Irradiation of Microbial Poly( $\epsilon$ -lysine) Aqueous Solutions, *J. Appl. Polym. Sci.*, **58**, 801-806, 1995.
  79. Ichikawa T., Mitsumura Y., and Nakajima T., Water-Sorption Properties of Poly( $\epsilon$ -lysine): Carboxymethyl Cellulose (CMC) Dietary Complex Films, *J. Appl. Polym. Sci.*, **54**, 105-112, 1994.
  80. Ichikawa T. and Nakajima T., *Polymeric Materials Encyclopedia*, Salamone J.C. (Ed.), CRC, Boca Raton, FL, **10**, 8051-8059, 1996.